



Rem: Revista Escola de Minas

ISSN: 0370-4467

editor@rem.com.br

Escola de Minas

Brasil

Casteletti, Luiz Carlos; Pires Fernandes, Frederico Augusto; Bernardes Da Silva, Eder; Picon, Carlos Alberto; Tremiliosi-Filho, Germano

Avaliação da resistência ao desgaste de aços inoxidáveis endurecíveis por precipitação nitretados

Rem: Revista Escola de Minas, vol. 63, núm. 1, enero-marzo, 2010, pp. 123-127

Escola de Minas

Ouro Preto, Brasil

Disponível em: <http://www.redalyc.org/articulo.oa?id=56416597021>

- Como citar este artigo
- Número completo
- Mais artigos
- Home da revista no Redalyc

INOX: Engenharia de Superfície

Avaliação da resistência ao desgaste de aços inoxidáveis endurecíveis por precipitação nitretados

Wear resistance evaluation of nitrided precipitation hardening stainless steels

Resumo

A nitretação por plasma consiste num tratamento efetivo para o aumento das durezas superficiais dos aços inoxidáveis, podendo ser realizada em temperaturas inferiores às usadas nos processos convencionais, evitando-se assim, a formação de nitretos de cromo, que prejudicariam a resistência à corrosão do material. Os aços inoxidáveis endurecíveis por precipitação foram desenvolvidos após a Segunda Guerra Mundial em decorrência das necessidades da indústria aeroespacial, que necessitava de materiais resistentes à corrosão em temperaturas mais elevadas. Nesse trabalho, foi produzido um aço inoxidável endurecível por precipitação com uso de Nb e um aço comercial PH 13-8Mo endurecível por precipitados à base de Cu, para fins de comparação em termos de produção de camadas nitretadas e de resistências ao desgaste abrasivo. O Nb mostrou-se um eficiente formador de precipitados endurecedores do aço, com o pico de dureza ocorrendo em poucos minutos de tratamento. Nos dois aços, obtiveram-se camadas nitretadas com boa uniformidade. A resistência ao desgaste do aço com Nb nitretado foi muito superior à do aço PH 13-8Mo também nitretado.

Palavras-chave: Nitretação a plasma, aço inoxidável, endurecimento por precipitação, desgaste.

Abstract

Plasma nitriding is an effective treatment to increase the surface hardness of stainless steel and may be performed in temperatures below those used in conventional nitriding procedures, thereby avoiding the formation of chromium nitrides that would deteriorate the corrosion resistance of the material. The precipitation hardened stainless steels were developed after the Second World War as a result of the needs of the aerospace industry, which needed materials resistant to corrosion at higher temperatures. In this research, a precipitation hardened Nb stainless steel and a PH 13-8Mo precipitation hardened stainless steels with Cu were produced, for purposes of comparison in terms of the production of nitrided layers and abrasive wear resistances. Nb proved to be an effective hardening precipitate former, with the hardness peak occurring within minutes of treatment. In both steels, nitrided layers with good uniformity were obtained. The wear resistance of the nitrided Nb steel was much higher than that presented by the PH 13-8Mo nitrided steel.

Keywords: Plasma nitriding, stainless steel, precipitation hardening, wear.

Luiz Carlos Casteletti

Escola de Engenharia de São Carlos
EESC-USP, São Carlos - SP
E-mail: castelet@sc.usp.br

**Frederico Augusto Pires
Fernandes**

Escola de Engenharia de São Carlos
EESC-USP, São Carlos - SP
E-mail: codoico@gmail.com

Eder Bernardes Da Silva

Escola de Engenharia de São Carlos
EESC-USP, São Carlos - SP
E-mail: eder.bernardes@gmail.com

Carlos Alberto Picon

Faculdade de Engenharia de Ilha
Solteira FEIS-UNESP
Ilha Solteira - SP
E-mail: capicone@dfq.feis.unesp.br

Germano Tremiliosi-Filho

Instituto de Química de São Carlos
IQSC-USP, São Carlos - SP
E-mail: germano@iqsc.usp.br

1. Introdução

A partir de 1945, em decorrência das necessidades das indústrias aeronáutica e aeroespacial, em termos da disponibilidade de aços inoxidáveis com resistência mecânica e à corrosão superiores às dos aços inoxidáveis tradicionais, aliadas a uma ductilidade adequada às operações de conformação necessárias e à facilidade de soldagem, foram realizadas extensas pesquisas, que resultaram na obtenção dos aços inoxidáveis endurecíveis por precipitação, cuja martensita é do tipo substitucional, endurecida posteriormente por precipitados intermetálicos (Fine, 1964; Decker, 1973; Esfandiari; Dong, 2007).

Os aços endurecíveis por precipitação são, particularmente, adequados a tratamentos de nitretação, devido à existência de seus picos de endurecimento, que permitem o tratamento sem quedas acentuadas nas durezas dos substratos, fator este fundamental para manter a integridade da camada produzida. As altas durezas superficiais conferidas pelas camadas nitretadas aumentam as resistências à fadiga e ao desgaste das peças, ampliando suas vidas úteis e a faixa de utilização. A nitretação iônica, devido à sua flexibilidade, em termos de temperaturas de tratamento, constitui-se na alternativa mais indicada nesse caso de tratamento (Celik et al., 1995; Celik, 1986; Cohen, 1986). A principal vantagem da nitretação a plasma de aços endurecíveis por precipitação é atribuída à possibilidade de emprego de temperaturas inferiores à de envelhecimento do aço (Dong; Esfandiari; Li, 2008; Sun; Bell, 2003).

Esse trabalho tem como objetivo avaliar e comparar a resistência ao desgaste por abrasão de dois aços endurecíveis por precipitação, o PH13-8Mo e outro com adição de Nb, nitretados por plasma em corrente contínua e pulsada.

2. Materiais e métodos

Os aços foram obtidos por fundição, forjados e submetidos a tratamentos térmicos. As fundições foram realizadas em forno de indução a vácuo.

Os lingotes foram forjados na faixa de temperatura de 1000-1100°C, com uma redução de área da ordem de 85%. Partindo-se das barras forjadas, foram confeccionados corpos-de-prova para as etapas posteriores. Todas as ligas foram submetidas a tratamentos de solubilização durante 1,5h a 1100°C, com resfriamento em óleo.

As composições químicas nominais dos aços, em porcentagem de peso, são apresentadas na Tabela 1. O aço PH13-8Mo foi usado para fins de comparação. No aço com Nb, foi adicionado um teor desse elemento, como formador de precipitados, e cálculo, visando a melhorar as propriedades de impacto, pelo seu efeito na esferoidização das inclusões.

Para os exames metalográficos, foram utilizados procedimentos convencionais de lixamento e polimento, seguidos de ataque químico com o seguinte reagente: 20ml HCl-100ml H₂O-2,4g NH₄HF₂. As fotomicrografias ópticas foram obtidas com auxílio da técnica de contraste de interferência. As microdurezas das camadas foram obtidas em um microdureômetro, usando-se a escala Vickers.

As ligas foram nitretadas com o uso de corrente contínua e pulsada, em uma mistura gasosa composta por 80% de H₂ e 20% de N₂. Para ambas as condições, foi empregada uma pressão de 6mBar a uma temperatura de 480°C por 3h. O

ciclo empregado para o plasma pulsado foi de 75% e freqüência de 2KHz.

A Tabela 2 apresenta os parâmetros empregados na nitretação.

A partir dos parâmetros usados, para o plasma pulsado, se obtém o tempo que o plasma permanece ligado e desligado ($t_{on}=375\mu s$ e $t_{off}=125\mu s$).

Os ensaios de abrasão foram do tipo pino sobre lixa 500, com corpos-de-prova cilíndricos, sendo que o disco girava com 50rpm e a cada 200 giros o corpo-de-prova era limpo e pesado com uma precisão de 0,0001g. A carga aplicada sobre o corpo-de-prova foi de 150g.

3. Resultados e discussão

Na Figura 1, são apresentadas as micrografias, correspondentes às matrizes das ligas nos estados solubilizados. Verifica-se, em ambos os casos, a presença da estrutura martensítica do tipo “lath”, responsável pelo acentuado endurecimento, quando tal estrutura foi submetida aos tratamentos posteriores de envelhecimento.

Na Tabela 3, são apresentados os valores de microdureza Vickers para os aços nitretados em plasma com corrente contínua e pulsada com 2KHz.

Tabela 1 - Composições químicas nominais dos aços produzidos (% em peso).

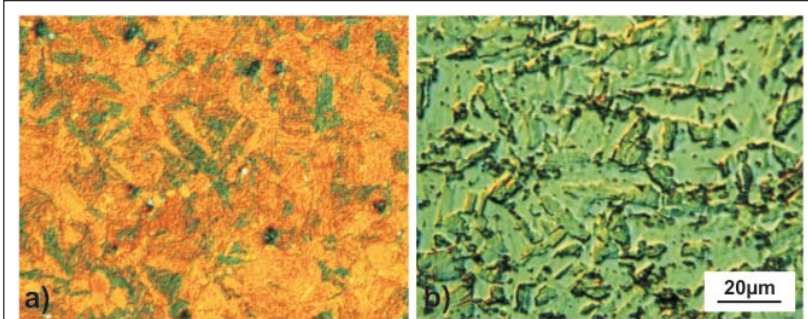
Liga	Elementos									
	C	Mn	Si	Cr	Ni	Mo	Al	Nb	Ca	
PH13-8Mo	0,04	0,03	0,03	12,70	8,20	2,20	1,10	-	-	
Aço-Nb	0,04	0,03	0,03	12,00	6,00	2,20	-	2,00	0,10	

Tabela 2 - Parâmetros empregados na nitretação por plasma.

Condição	Corrente (mA)	Tensão (V)	Ciclo
C.C	375	549	--
Pulsado	728	619	75%

Tabela 3 - Durezas das camadas nitretadas (HV).

Condição	Liga	
	PH13-8Mo	Aço-Nb
Solubilizada	327	310
Nit. C.C	780	792
Nit. Pulsado	815	725

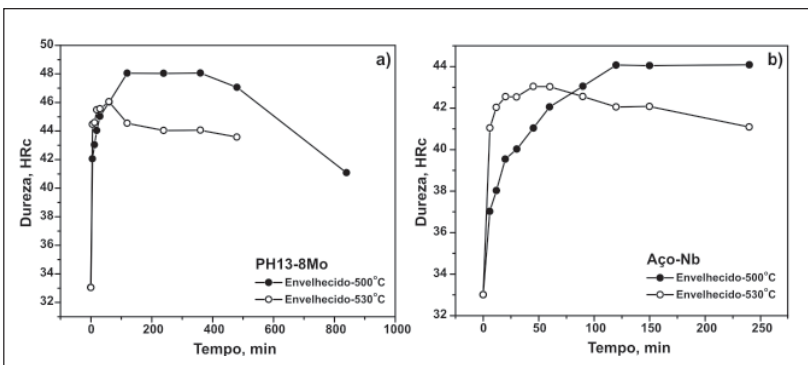
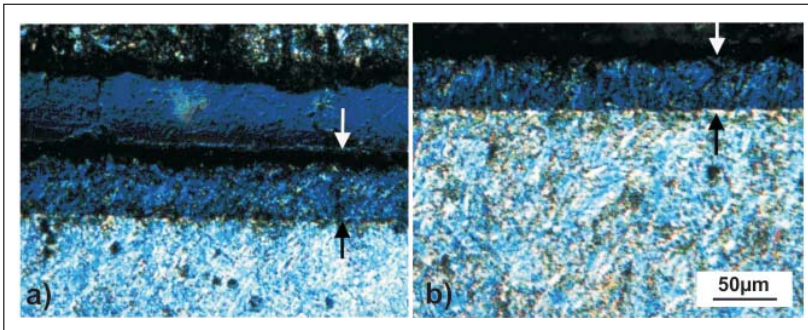
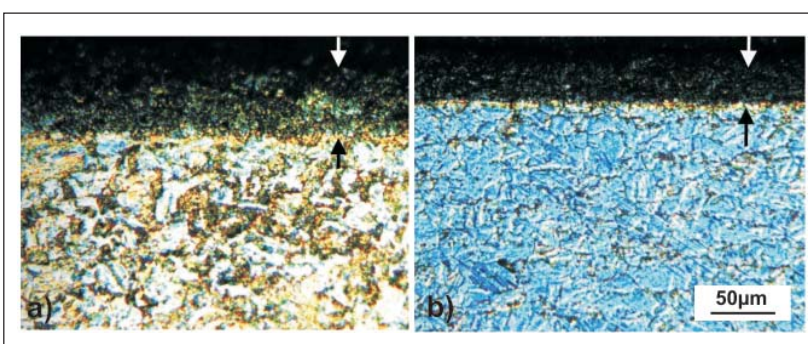
**Figura 1** - Microestrutura das ligas estudadas: a) PH13-8Mo. b) Aço-Nb.

Na Figura 2, são apresentadas as curvas de envelhecimento para os dois aços estudados, nas temperaturas de 500 e 530°C. Com base nessas curvas, verifica-se a possibilidade de envelhecimento simultâneo à nitretação por plasma. Para o aço PH13-8Mo (Figura 2a), obtém-se uma dureza máxima de cerca de 48Rc, para a temperatura de 500°C, com um tempo de 120min. O aço-Nb (Figura 2b) apresentou dureza máxima de 44Rc, também a 500°C para um tempo de 120min de tratamento.

Na Figura 3, são apresentadas as camadas obtidas no aço PH13-8Mo por meio de plasma com corrente contínua e pulsada. As espessuras obtidas são semelhantes nos dois casos. O substrato constitui-se de martensita do tipo substitucional Fe-Ni, como mostrado com maior detalhe na Figura 1a.

Na Figura 4, verificam-se a as camadas produzidas por plasma em corrente contínua e plasma pulsado para o aço-Nb, que não fora previamente envelhecido. O envelhecimento foi realizado, simultaneamente, com o tratamento de nitretação, uma vez que as temperaturas de tratamento são semelhantes.

Na Figura 5, são apresentadas as curvas obtidas nos ensaios de desgaste para os dois aços em análise. Verifica-se que, no caso do aço PH13-8Mo, o tratamento de nitretação com corrente pulsada produziu uma grande melhora na sua resistência ao desgaste, porém, no caso do tratamento com plasma com corrente contínua, apesar de apresentar uma resistência inicial superior, ocorre uma tendência de aproximação com a resistência do aço sem nitretar. Isto pode

**Figura 2** - Curvas de envelhecimento das ligas solubilizadas: a) PH13-8Mo. b) Aço-Nb.**Figura 3** - Microestrutura do aço PH13-8Mo nitretado: a) cc. b) 2KHz.**Figura 4** - Microestrutura do aço-Nb nitretado: a) cc. b) 2KHz.

Avaliação da resistência ao desgaste de aços inoxidáveis endurecíveis por precipitação nitretada

ser devido a uma maior fragilidade da camada, com as partículas de nitretos que se destacam da mesma atuando como abrasivos adicionais. Já no caso do aço com Nb, seu efeito, no melhoramento da resistência ao desgaste, foi extremo. Nesse caso, ocorreu, logo no início do ensaio uma estabilização da curva, indicando que o desgaste, praticamente, deixou de ocorrer.

Na Figura 6, são mostrados os aspectos superficiais das superfícies desgastadas. No caso do aço PH13-8Mo, verifica-se uma superfície de desgaste típica de desgaste abrasivo, com seus riscos característicos. No caso do aço-Nb, a superfície apresenta-se com poucos riscos, polida em sua maior parte e com a presença de precipitados duros em relevo, que, provavelmente, apresentam dureza superior à do abrasivo da lixa usada e foram os principais responsáveis pelo desempenho excepcional ao desgaste. O tratamento com corrente contínua produziu uma camada que apresentou a melhor resistência ao desgaste abrasivo.

Na Figura 7, está apresentada a fotomicrografia eletrônica do aço com Nb, com a presença de precipitados semelhantes aos observados na Figura 6b.

Na Tabela 4, são apresentados os resultados de microssonda eletrônica realizada em alguns precipitados presentes nesse aço.

Por análise estequiométrica, os precipitados constituem-se, provavelmente, de fases de *Laves* do tipo $Fe_2[NbMo]$. Pela análise das Figuras 6 e 7, pode-se relacionar a grande resistência ao desgaste desse aço com a presença desses precipitados microscópicos. Já o aumento de dureza com o envelhecimento está relacionado, provavelmente, aos precipitados desse tipo submicroscópicos.

4. Conclusões

O Nb demonstrou ser um eficiente formador de precipitados endurecedores, provavelmente do tipo $Fe_2[NbMo]$, no caso do aço em estudo.

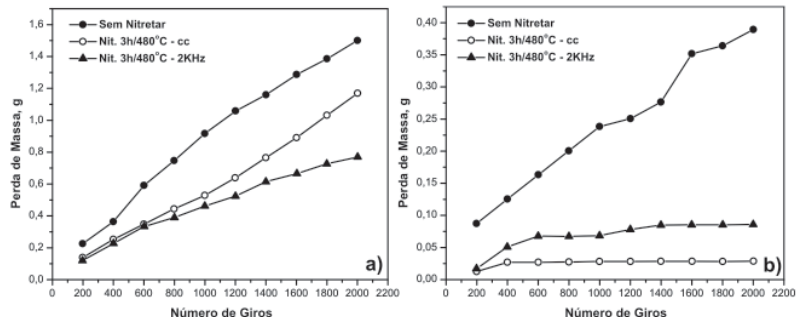


Figura 5 - Curvas de desgaste por abrasão das ligas: a) PH13-8Mo; b) Aço-Nb.

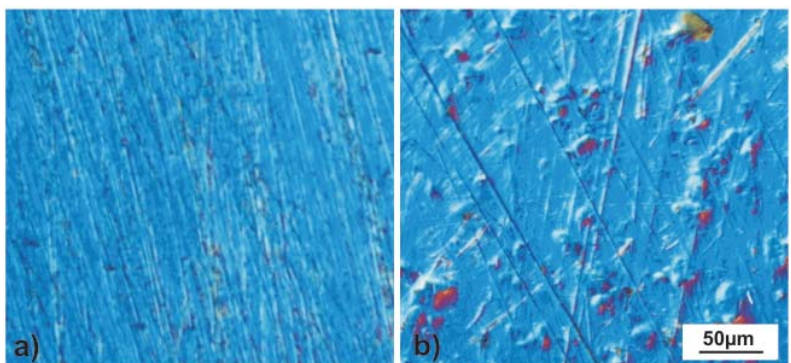


Figura 6 - Superfícies após ensaio de abrasão das ligas: a) PH13-8Mo. b) Aço-Nb.

Tabela 4 - Composições químicas (% peso) de três precipitados presentes no aço com Nb.

Elementos	Fe	Nb	Cr	Ni	Mo	Si
Precipitado 1	41,9	27,7	7,0	3,3	16,8	2,1
Precipitado 2	40,5	33,8	6,4	3,1	13,3	1,7
Precipitado 3	43,2	30,4	6,7	3,2	13,6	1,8

A nitretação com plasma pulsado produziu um aumento acentuado na resistência ao desgaste do aço PH13-8Mo, porém, no caso do aço com Nb, esse efeito foi extremo. Ocorreu, também, logo no início do ensaio, uma estabilização da curva, indicando que o desgaste, praticamente, deixou de ocorrer. A superfície apresenta-se com poucos riscos, apresentando-se polida em sua maior parte e com presença de precipitados duros em relevo, que, provavelmente, apresentam dureza superior à do abrasivo da lixa usada. Tais precipitados foram os principais responsáveis pelo desempenho excepcional ao desgaste. O

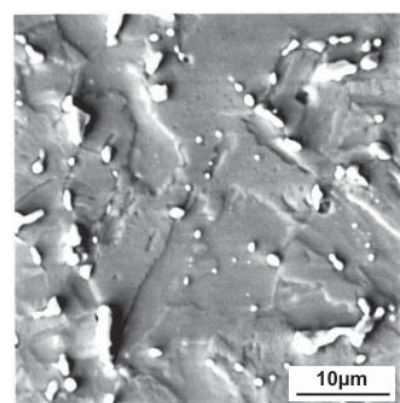


Figura 7 - Micrografia eletrônica do Aço-Nb.

tratamento com corrente contínua produziu uma camada que apresentou a melhor resistência ao desgaste abrasivo, devido, provavelmente, à menor fragilidade da camada formada.

5. Agradecimentos

Os autores agradecem a CAPES pela bolsa de estudo concedida a Frederico Augusto Pires Fernandes e ao CNPq (proc. 150799/2008-0).

6. Referências bibliográficas

- CELIK, A. et al. Improvement on the fatigue strength of AISI 4140 steel by an ion nitriding process. *Surface and Coatings Technology*, v.72, p. 169-173, 1995.
- COHEN, A. The influence of ion nitriding parameters on the hardness layer of 15-5PH stainless steel. *Thin Solid Films*, v.141, p. 53-58, 1986.
- COHEN, A. The influence of the nitriding process on the dry wear resistance of 15-5PH stainless steel. *Wear*, v.108, p. 157-168, 1986.
- DECKER, R.F. Alloy design, using second phases. *Metallurgical Transactions*, v. 14, n. 11, 1973.
- DONG, A., ESFANDIARI, M., LI, X.Y. On the microstructure and phase identification of plasma nitrided 17-4PH precipitation hardening stainless steel. *Surface and Coatings Technology*, v. 202, p. 2969-2975, 2008.
- ESFANDIARI, M., DONG, A. Improving the surface properties of A286 precipitation-hardening stainless steel by low-temperature plasma nitriding. *Surface and Coatings Technology*, v. 201, p. 6189-6196, 2007.
- FINE, M.E. Precipitation Hardening. *The Strengthening of Materials*. New York: Reinhold P. Corp. (Chapman), 1964, 250p.
- SUN, Y., BELL, T. Low temperature plasma nitriding characteristics of precipitation hardening stainless steel. *Surface Engineering*, v. 19, p. 331-336, 2003.

Artigo recebido em 08/06/2009 e aprovado em 19/01/2010.

A REM tem novo endereço:

FUNDAÇÃO GORCEIX - REM
Rua Carlos Walter Marinho Campos, 57
Bairro: Vila Itacolomy
35400-000 - Ouro Preto - MG

(31) 3551-4730 (31) 3559-7408

www.rem.com.br